

E-9201.- En primer plano, depósito y superficie de la Raña; al fondo la Sierra de Ayllón.



F-9202 - En primer término, superficie de la Raña. Al fondo se observa la Sierra de Ayllón y la superficie de la Rampa, sobre la que destacan discretamente algunos Inselbergs



F-9203 - Glaciar de La Pinilla.



F-9204 - Glaciar de La Pinilla y estación de esquí.



F-9205 - Otro aspecto del Glaciar de La Pinilla



F-9206 - Glaciar de La Pinilla con depósitos de canchales y sobreexcavación fluvial en la base



F-9207 - Relieves estructurales vistos desde la carretera que sube al Puerto de la Quesera.



F-9208 - Detalle de dichos resaltes estructurales.



F-9209 - Aspecto general del Terciario con los depósitos de Raña a techo.



F-9210 - Cárcavas en los depósitos detríticos del Terciario.



F-9211 - Aspecto de los depósitos de Raña



F-9212 - Otro aspecto de la fotografía anterior.



F-9213 - Detalle del depósito de la Raña con cantos cuarcíticos mayoritarios. En algunos se observa una pátina de óxidos.



F-9214 - Vista general de la Cuenca del Duero desde el Cerro Otero, próximo a la localidad de Alquite.



F-9215 - Vista desde el Cerro Otero del sector norte de la Sierra de Ayllón. Al fondo, mesa de Cantalojas-Pico Grado.



F-9216 - Sector norte de la mesa de Cantalojas-Pico Grado



F-9217 - Sector sur de la misma, muy cerca de Cantalojas.



F-9218 - Relaciones estructurales entre la S_0 (buzando al oeste-izquierda), la S_1 (buzando ligaramente mayor en el mismo sentido) y la S_3 (buzamiento al este) en el anticlinorio de Galve de Sorbe.



F-9219 - Detalle de la S_3 en los términos pelíticos del afloramiento anterior.



F-9220 - Iguales relaciones estructurales que en F-9218, entre S_0, S_1 y S_3.



F-9221 - Detalle de una charnela de un pliegue de F_1, con vergencia al este, con su esquistosidad (S_1) de plano axial asociada.



F-9222 - Fábrica de ECC sobreimpuesta a la S_2 regional, ambas indicando un sentido de movimiento de "techo a la izquierda". Neis de Riaza en la ZCB (Riofrío de Riaza)



F-9223 - Idem anterior.



F-9224 - Pliegue anticlinorio de F_1, ligeramente vergente al este. Anticlinorio de Galve de Sorbe.



F-9225 - Pliegue sinclinal de F_1, continuación hacia el este del anterior.



F-9226 - Relación entre la S_0 (buzando al este-derecha) y la S_1 (subvertical) en el flanco occidental del sinclinal de Majaelrayo. Formación Rodada (R_2).



F-9227 - Pliegues intafoliares de F_2 con charnelas curvas, algunas de ellos cizallados, dentro de la ZCB. La S_2 regional buza hacia el este (derecha). Subida al Puerto de la Quesera.



F-9228 - Detalle de la F-9227.



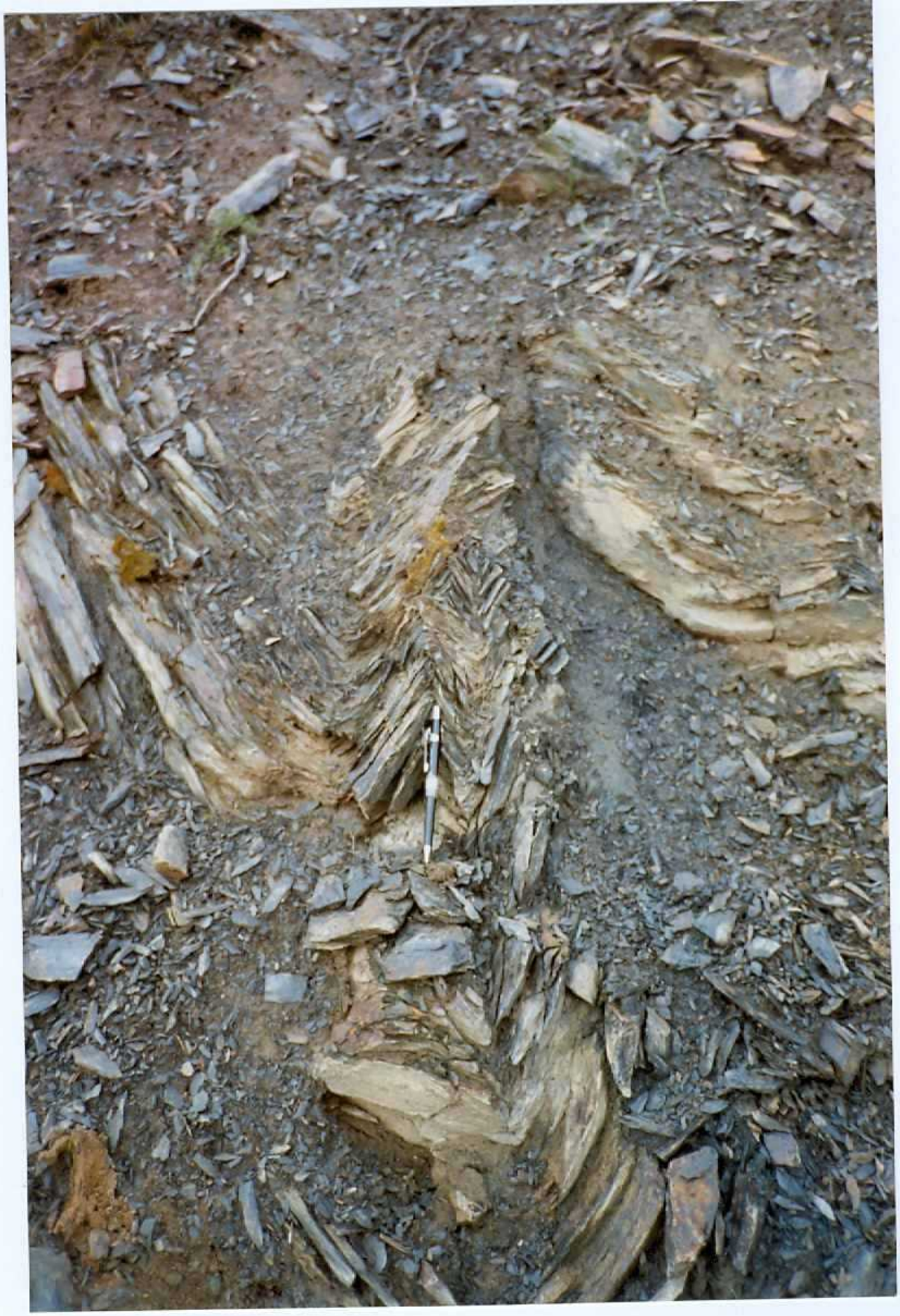
F-9229 - Relaciones entre la S_0 (niveles claros buzando al este-derecha) y la S_1 (subvertical) en el flanco occidental del sinclinal de Majaelrayo. Formación Rodada (R_2).



F-9230 - Aspecto de las alternancias de cuarcitas y pizarras de la Fm. Rodada (R_3) en el flanco oriental del sinclinal de Majaelrayo.



F-9231 - "Kink bands" tardíos desarrollados sobre las pizarras de la Fm. Rodada (R_2).



F-9232 - Pliegues de morfología "chevron", tardíos, desarrollados sobre las pizarras de la Formación Rodada (R_2).



F-9233 - Idem anterior.



F-9234 - Pliegues de F_3, vergentes al oeste (derecha), afectando a la S_1 regional en el anticlinorio de Galve de Sorbe.



F-9235 - Fábrica SC en neises de El Cardoso, la asimetría de las glándulas indica un sentido de imbricamiento de "techo hacia la izquierda". ZCB en la Estación de esquí de La Pinilla.



F-9236 - Contacto subpararlelo a la S_2 regional entre el neis de El Cardoso (arriba) y niveles cuarcíticos con pliegues intrafoliares (abajo). ZCB en La Pinilla.



F-9237 - Venas de cuarzo subparalelas a la S_2 regional, intensamente cizalladas y aboundinadas. Micaesquistos muy próximos al detachment de El Cervunal en la estación de La Pinilla.



F-9238 - Pliegue intrafoliar en un nivel cuarcítico intercalado en la litología anterior.



F-9239 - Pliegue de F_2 (intrafoliar, con plano axial subparalelo a la S_2 regional), en la subida a la antigua telecabina de la estación de esquí de La Pinilla.



F-9240 - Calizas y dolomías tableadas de la Fm. Cuevas Labradas (inclinadas) en las proximidades de la localidad de Pedro.



F-9241 - Explotaciones de Alumita en el contacto entre el Paleozoico y los términos rojizos del Terciario en las proximidades de Madriguera.